



Modeling of NO_3^- transport in gypsiferous soil under unsaturated flow

Ramzi M. Shihab

Ahmed A. Fattah Noor Aldeen M. Muawish

Soil Sci. & Water Resources. Dept.-College of Agriculture- Tikrit University, Iraq

Article Info.

Received
2021 / 4 / 1
Accepted date
2021 / 5 / 3

Keywords

NO₃
transport,
gypsiferous
soil

Abstract

This study was conducted to determine the effect of gypsum content and depth of water head on displacement and transport of nitrate in gypsiferous soil under unsaturated flow conditions. Also, to predict the concentration of nitrate using convection dispersion model (CDE). Soil columns with 63, 97, 142, 180, and 236 g kg⁻¹ of gypsum were prepared. 200 mg L⁻¹ of potassium nitrate were added to the surface of each soil column. The soil columns were leached by intermittent ponding in 2 pore volumes of water. A constant head depth of 0.005, 0.01, and 0.015 m of water was kept on the top of soil column. Samples of effluent were collected for measuring nitrate concentration. The CDE model was analyzed to estimate the best fitting between measured and predicted nitrate concentration, and to calculate dispersion coefficient (D), the retardation factor (R), and Peclet number (P). Results showed that CDE can be used to predict nitrate concentration in soil. Good fit was observed to describe breakthrough curves (BTC's), and predict the transport of nitrates in the leachate of gypsum soil columns. D values increased with the increase in the content of soil gypsum and decrease with increase the water head. Its values ranged between 6.48-8.76 m² h⁻¹. P and pore water velocity (v) decreased with the increase in soil gypsum content. The R values were less than 1 for all treatments.

Corresponding author: E-mail(ramzishihab@tu.edu.iq) Al- Muthanna University All rights reserved

نمنجة انتقال النترات في تربة جبسية تحت ظروف جريان غير مشبع

رمزي محمد شهاب احمد عبد الله فتاح نور الدين محمد مهاوش

قسم علوم التربة والموارد المائية - كلية الزراعة - جامعة تكريت - العراق

مستخلص

اجري هذا البحث لدراسة تأثير محتوى التربة من الجبس وارتفاع عمود ماء الغسل في ازاحة وانتقال النترات تحت ظروف جريان غير مشبع في تربة جبسية، وكذلك التنبؤ بتركيزها باستعمال انموذج الحمل- التشتت (CDE). حضرت أعمدة تربة ذات محتوى جبسي 63 و 97 و 142 و 180 و 236 غ كغم⁻¹. أضيف 200 ملغم لتر⁻¹ من النترات بشكل نترات البوتاسيوم على سطح كل عمود، وغسلت الأعمدة بالماء بشكل متقطع وذلك بإمرار 2 حجم مسامي خلال عمود التربة. أضيف عمود ماء ثابت بإعماق 0.005، 0.01، 0.015 m فوق سطح كل عمود تربة، وجمع الراشح من أسفل العمود وقياس فيه تركيز النترات. حل انموذج الحمل- التشتت لإيجاد أفضل تطابق بين تركيز النترات المقاسة والمقدرة، وحساب معامل التشتت (D) وعامل الإعاقة (R) ورقم بكلت (P). اظهرت النتائج كفاءة الانموذج في وصف انتقال النترات في التربة، اذ بين حل الانموذج تطابقاً جيداً لوصف منحنيات الاختراق وبالتالي امكانية التنبؤ بانتقال النترات في رواشح اعمدة التربة الجبسية. أزداد D بازدياد محتوى الجبس وقل بزيادة عمود الماء، إذ بلغ 8.76-6.48 m² ساعة⁻¹ في حين انخفض P وسرعة الماء المسامي (v) بزيادة محتوى الجبس. وان قيم عامل الإعاقة كانت أقل من 1 لجميع المعاملات.

أو الجبس المتميّء $\text{CaSO}_4 \cdot 2\text{H}_2\text{O}$ (Anhydrite) وعلى 14% أو أكثر من الجبس في الأفق تحت السطحي. تتأثر الخصائص الفيزيائية والمائية للتربة الجبسية كثيراً بوجود الجبس إذ تتخفض قابلية الترب الجبسية على الاحتفاظ بالماء اعتماداً على نسجة التربة والبناء وحجم بلورات الجبس

المقدمة

عرفت دائرة مسح التربة الأمريكية (Soil survey staff, 1999) الترب الجبسية على أنها الترب التي يكون محتواها أكثر من 2% من الجبس في الأفق السطحي الذي يكون على هيئة جبس حقيقي CaSO_4 (True gypsum)

أجري هذا البحث لدراسة تأثير محتوى الجبس في ازاحة وانتقال النترات في مقدمة التربة تحت ظروف جريان غير مشبع من خلال تحديد معايير الانتقال باستعمال موديل الحمل التشتت (CDE) فضلاً عن إمكانية التنبؤ بتركيز النترات في راشغ الغسل والمتبقي منه في أعمدة تربة جبسية.

1.1. الأساس النظري

اعتمد الانموذج المستخدم في الدراسة على الحل العددي لأنموذج (الحمل- التشتت) (CDE)

اذ ان:

$C =$ معدل تركيز المذاب، $t =$ الزمن، $D =$ معامل التشتت، $R =$ عامل الاصابة، $v =$ معدل سرعة الماء المسامي ($v = q/\theta$)،
اذ ان $q =$ كثافة التدفق الحجمي للمائع (L/T^{-1}) وان θ الرطوبة الحجمية للتربة، $X =$ المسافة.

يمكن حل المعادلة (1) وفقاً للظروف الحدوية الآتية:

$$C(0,t) = C_0 \text{ and } \partial C / \partial X(\infty,t) = 0 \quad (2)$$

وعلى افتراض ان توزيع المادة المذابة داخل عمود التربة لا يتاثر بحدود الجريان الخارج من السطح الأسفل للعمود لذلك يمكن اعتبار عمود التربة جزءاً من نظام نصف غير منته، وايضاً بافتراض ان التركيز مستمر عند $L=x$ ($L =$ طول عمود التربة) ($L \leq x \leq L_0 \leq 0$) عندها يصبح الانموذج كالتالي (Skaggs and Leij, 2002

إذ ان C_e هو التركيز النسبي و $erfc$ هي دالة الخطأ المكملة ($erfc = 1 - erf$)

وللتعبير عن التركيز النسبي للراشح بصيغة حجم مسامي (Pore volume) لعمود التربة، ورقم بكلت (Peclet No.) فان المعادلة (3) يصبح كالتالي:

$$c_e(V) = \frac{1}{2} erfc \left[\left(\frac{P}{4RV} \right)^{0.5} (R - V) \right] + \frac{1}{2} erfc(P) erfc \left[\left(\frac{P}{4RV} \right)^{0.5} (R + V) \right] \quad (4)$$

والأجل التنبؤ بتركيز المادة المذابة في عمود التربة (– volume averaged resident concentration) (averaged resident concentration) كالآتي (Skaggs and Leij, 2002)

ووجود طبقات جبسية صلبة، ومحتوها من الطين وفي أغلب الترب الجبسية تكون حركة الماء معتدلة إلى سريعة، ونتيجة لعمليات الري أو الأمطار يغسل الجبس للأعماق السفلي، وأحياناً تكون طبقة جبسية صلبة تؤدي إلى تقليص الإيصالية المائية للتربة مما يجعل حركة الماء أشباه بحركته في التربة ذات الطبقات Shihab and Abdulwahhab, (Shihab, 1997 و 2013) أيون سالب (NO₃⁻) على سطح الشحنة لذا يصعب امتصاره (Adsorption) على سطح معادن الطين وذلك لتناقض الشحنة كونها تحمل نفس الشحنة مما يسهل من عملية غسله وحركته إلى الماء الأرضي، ويحدث امتصار لهذا الأيون في الترب الحامضية على سطح الأكسيد والغرويات موجبة الشحنة، عند غياب الغرويات (1) والأكسيد الموجبة ينعدم أيضاً على سطح الطبقات حيث يتجمع في تلك الطبقات (X²⁻) غياب الأوكسجين يختار إلى صور غازية (Gold et al., 2004). درس العديد من الباحثين حركة النترات في أعمدة تربة غير مشبعة أفقية ذات نسجة مزيجية رملية و مزيجية غرينينية ومزيجية طينية إذ وجد (Allred and Brown 2007 و Allred 2015) أن إضافة 50 و 200 و 1000 و 2690 ملغم لتر⁻¹ من النترات، عند مستويين من رطوبة التربة ابتدائية ونهائية إلى تلك الأعمدة، أن حركة النترات في هذه الترب لم تتأثر بسرعة الماء المسامي ولكنها تأثرت بمحتوى الماء الكلي، ووجد هؤلاء الباحثون أن حركة النترات تتأثر برطوبة التربة الابتدائية أكثر من تأثيرها بتراكيز النترات، وأن زيادة تركيز النترات يزيد من التداخلات في الشحنات الحاصلة بين النترات والسطوح الصلبة في التربة المؤثرة في حركة النترات. وتبين لهم أيضاً أن عملية الاستبعاد الانابوني تؤثر بشكل أساس في حركة النترات في الترب. إن لنسجة التربة دوراً هاماً في حركة النترات إذ درس Gonzalez and Shukla (2011) انتقال النترات في أعمدة تربة ذات نسبتين مزيجية ورملية بإضافة 200 ملغم لتر⁻¹ من نترات Ca(NO₃)₂ على طبقتين (CaCl₂) وكlorيد الكالسيوم وقد تبين لهم أيضاً أن عملية الاستبعاد الانابوني تؤثر بشكل تحسين طبقات الماء المسامي بـ $D = 0.5$ و 0.5 و 1.5 سم ساعة⁻¹. إذ وجد هذان الباحثان أن حركة النترات كانت أسرع في التربة المزيجية بسبب تجانس المسامات على عكس التربة الرملية. كما توصلوا إلى أن لسرعة الماء المسامية تأثير في إزاحة النترات، إذ انخفض زمن إزاحة النترات بازدياد سرعة الماء المسامي. ولوحظ أيضاً أن معامل التشتت D يزداد بازدياد سرعة الماء المسامي. أن ازدياد الفرق حول تلوث المياه الجوفية وال الحاجة الملحة لتطوير طرائق موثوقة وفعالة للتنبؤ بانتقال الملوثات من موقع الاستغلال الزراعي إلى المياه الجوفية قد أعطى دافعاً لتطوير نماذج رياضية لوصف هذه العملية إذ طورت اعداد كبيرة من هذه النماذج خلال السنوات الأخيرة لمنفذة عمليات الانتقال والمحاكاة والتنبؤ بمصير انتقال المذاب في التربة، ومن أشهر هذه النماذج تلك التي تعتمد على انموذج (الحمل- التشتت). لم تدرس حركة النترات في الترب الجبسية وعلاقة تلك الحركة بمحتوى الجبس تحت ظروف الجريان غير المشبعب لذلك فإن التنبؤ بحركة وانتقال النترات وتحديد معايير هذا الانتقال باستعمال نماذج رياضية يساعد في فهم أفضل للمشكلة ويساعد في حلها، وبناءً على ما ذكره

بطول R_{Xt} م. وضع في أسفل كل عمود طبقة من الصوف الـ 5 (DR_t) $\frac{1}{2}$ ملء من $\frac{1}{2}$ حصى المحسول الذي تتراوح اقطاره من 0.02 - 0.04 م كمرشح، ووضعت عند نهاية العمود قاعدة قطرها أكبر بقليل من القطر الخارجي للعمود v_t^2 $\exp\left(\frac{-v_t^2}{4DR}\right)$ بهوبيت بداخلها أنابيب صغير قطره 0.04 DR م الغرض جمع جراء الراشح اثناء عملية الغسل. حضرت اعمدة التربة وذلك بتعينة الأعمدة بعينات التربة ذات المحتوى الجبسى 63 و 97 و 142 و 180 و 236 غم كغم⁻¹.

2.2 اضافة نترات البوتاسيوم KNO_3 ومتابعة انتقال النترات في اعمدة التربة ...

$$+ \frac{V^X}{DR} \exp\left(\frac{-V^X}{2(DR)^{0.5}}\right) erfc\left(\frac{V^X + v_t^2}{2(DR)^{0.5}}\right)$$

قسمت الاعمدة الى ثلات مكررات اذ اختير منها مكرران متقاربان وأهمل المكرر الثالث، أضيف 200 جزء لكل جزء بالمليون من نترات البوتاسيوم إلى سطح تلك الأعمدة وهي بحالتها الجافة هوائياً ثم أضيف الماء بعد ذلك بشكل متقطع وذلك يامرار 2 حجم مسامي في عمود التربة مقسمة على ست دفعات إذ أضيفت كل دفعه ماء بعد نزول كامل الماء المضاف في الدفعه السابقة على سطح العمود وكانت المدة الزمنية بين كل دفعه وأخرى يومين. أضيف الماء إلى سطح التربة بثلاثة ارتقاعات 0.005، 0.015، 0.01 م، وجمع الراشح من أسفل العمود وبشكل دفعات وقيس فيه تركيز النترات باستعمال جهاز المطياف الضوئي (Spectrophotometer)، حسب الاصالية المائية وسرعة الماء المسامي (v). قطعت الاعمدة بعد الانتهاء من عملية الغسل الى اربعة اجزاء 0 - 0.05 - 0.1 - 0.15 - 0.2 م. جفت عيانت التربة هوائياً ثم مررت عبر منخل قطر فتحاته 2 مم وقيس محتوى النترات في العينات.

اذا تمثل X المسافة لاعمق مختلفة من طول عمود التربة L.

1. المواد وطرق العمل

1.2 تحضير اعمدة التربة

اختير موقع في محطة كلية الزراعة – جامعة تكريت ودرس فيه مقد تربة بعمق 1 م وقيس محتوى الجبس للاعماق 0-15 (G₁) و 15-40 (G₂) (G₃) و 40-60 (G₄) و 60-80 (G₅) اعتماداً على الوصف المورفولوجي لهذا المقد. اذ بلغت قيم الجبس 63 و 97 و 142 و 180 و 236 غم كغم⁻¹ على التتابع. اخذت عينات تربة من هذه الاعماق وجففت هوائياً ثم طحنت ومررت بمنخل قطر فتحاته 2 مم. قدرت بعض الخصائص الفيزيائية والكيميائية لموقع الدراسة كما مبين في جدول 1. استعملت اعمدة اسطوانية لدائنة طولها 0.30 م وقطرها الداخلي 0.044 م عبئت بعينات التربة للحصول على اعمدة تربة

جدول (1). بعض الخصائص الفيزيائية والكيميائية لموقع تربة الدراسة

G5	G4	G3	G2	G1	الصنفة
*	*	*	*	مزيجة	النسجة
-	-	-	-	422	الرمل (غم. كغم ⁻¹)
-	-	-	-	332	الغرين (غم. كغم ⁻¹)
-	-	-	-	226	الطين (غم. كغم ⁻¹)
1.28	1.31	1.34	1.36	1.40	الكتافة الظاهرية (ميكا غرام م ³)
2.55	2.57	2.60	2.62	2.65	الكتافة الحقيقة (ميكا غرام م ³)
0.498	0.490	0.484	0.486	0.471	المسامية
0.0257	0.0245	0.0240	0.0217	0.0481	الاصالية المائية K (م ساعة ⁻¹)
0.628	0.593	0.583	0.567	0.561	الرطوبة الحجمية عند الاشباع (م ³ م ⁻³)
0.23	0.24	0.24	0.25	0.25	الرطوبة الحجمية عند 33 كيلو باسكال (م ³ م ⁻³)
0.09	0.09	0.09	0.09	0.10	الرطوبة الحجمية عند 1500 كيلو باسكال (م ³ م ⁻³)
7.87	7.82	7.49	7.43	7.26	pH اس الهيدروجين
2.41	2.12	2.03	1.92	1.96	التوصيل الكهربائي (ديسي سيمينز م ⁻¹)
236	180	142	97	63	الجبس (غم. كغم ⁻¹)
199.6	213.0	220.6	242.8	267.3	كاربونات الكالسيوم (غم. كغم ⁻¹)
3.2	4.4	9.0	9.0	10.0	المادة العضوية (غم. كغم ⁻¹)
5.9	7.3	10.7	11.0	12.3	السعة التبادلية للأيون الموجب (ستي مول. كغم ⁻¹)

0.0927. ان ارتفاع قيمة r وانخفاض قيمة RMSE دليل على التطابق العالي بين القيم المقاسة وتلك المقدرة من الانموذج. اظهر الشكل 1 بشكل عام توزيعاً طبيعياً لمنحنيات الاختراق والذى يعني ان المساحة تحت المنحنى تساوى تقريباً المساحة على المنحنى (تقاطع الخط العمودي الواصل بين 1 حجم مسامي مع الخط الأفقي الواصل من $C/C_0 = 0.5$) ويأخذ المنحنى شكل حرف (Sigmoid shape, S) وهذا يحدث عندما لا تحصل أعاقة لحركة Piston الماء والمذاب في التربة والذي يمثل الإزاحة المكبسية (like displacement) عند مرور حجم مسامي واحد من محلول الإزاحة (الماء) ولجميع المعاملات. حصل Gonzalez and Shukla (2011) على منحنيات اختراق للنترات مشابهة لما تم الحصول عليه في الدراسة الحالية اذ بینا ان سبب وقوع منحنى الاختراق الى (6) $\frac{vL}{P} = \frac{vL}{\theta L} = v/\theta$ يسار 1 حجم مسامي ناتج عن التناحر بين النترات سالبة الشحنة مع أسطح الدفائق الشحونة بالشحنة نفسها أو المدى الواسع لسرعة الجريان المسامي للمعاملات المختلفة وخاصة في المراحل الأولى من الإزاحة للنترات. احتاجت المعاملتان G1 وG2 ولجميع مستويات ارتفاع عمود الماء الى مرور أقل من 1 جم مسام لكي تزاح جميع النترات خارج أعمدة التربة (شكل 1). وقد يعود سبب ذلك الى انخفاض محتواها من الجبس مقارنة مع بقية المعاملات مما يعني توفر نسبة طين أكبر ووجود شحنات سالبة أكثر ادت الى استبعاد النترات بشكل أسرع وقد انعكس ذلك في قيم R لهاتين المعاملتين التي كانت هي الأقل من بين المعاملات الأخرى (جدول 4)، فضلاً عن وجود بناء تربة بدرجة ما أفضل من بقية المعاملات مما حافظ على تماسك التربة داخل العمود وقلل الخلط وانسداد المسامات نتيجة لذوبان وحركة الجبس. تبين نتائج جدول 2 ان الكمية اللازمة لإزاحة نصف تركيز النترات ($C/C_0 = 0.5$) قد ازدادت بزيادة الجبس إذ بلغت قيم الحجوم المسامية اللازمة لإزاحة 50% من النترات كمتوسط القيم للمعاملة G1 هو 0.39 في حين كانت قيمة متوسط الحجم المسامي للمعاملة G5 هو 0.47 حجم مسامي لارتفاعات عمود الماء الثلاث، وهذه النتيجة تؤكد ما ذكر سابقاً حول دور الجبس في إعادة الحركة نتيجة الذوبان والخلط. ونلاحظ من الجدول نفسه ايضاً أن جميع المعاملات احتاجت إلى أقل من نصف حجم مسامي واحد لخروج 50% من النترات مع الراش. وقد يعزى سبب ذلك إلى ان إضافة النترات الى سطح التربة الجافة مباشرة أدى الى خروج النترات بسرعة في الراش خاصة في المراحل الأولى من الإزاحة، وكذلك فإن أقصى تركيز للمذاب يحصل عند جبهة الابتلال مما يؤدي الى تحرك المذاب مع الماء لذلك تطلب حجم مسامي واحد لإزاحة معظم النترات من العمود (Gonzalez and Wang, et al. (2011) و Shukla, Kovacova, (2017) و Bahia and Naser. (2014) و (2017)). وهذا يوضح دور الجبس الذي قد طغى بشكل أكبر في المراحل الأخرى من الإزاحة مقارنة بالمراحل الأولى مما سبب في الغاء دور كل من سرعة الماء المسامي والتدفق.

3.2 حساب مدلولات الانتقال

بنيت منحنيات الاختراق للنترات استعمل انموذج (الحمل- التشتت) (معادلة 4) لإيجاد أفضل تطابق بين القيم المقاسة في الراش والقيم المقدرة للنترات وذلك باستخدام برنامج MATHCAD إذ تم ايجاد قيم عامل الإعاقة (R) ورقم بكلت (P) وذلك بتغيير قيم كل منها عن طريق المحاولة والخطأ (trial and error) في المعادلة لحين الحصول على أفضل تطابق بين القيم المقاسة والمقدرة بالاعتماد على اعلى قيمة لمعامل الارتباط r وأقل قيمة للجذر التربيعي لمتوسط الخطأ RMSE ثم حسب معامل التشتت (Dispersion Coefficient, D) من المعادلة الآتية:

استعملت معادلة 5 للتتبؤ بتركيز النترات في اعمدة التربة لزمنين 1 و 2 ساعة من بدء عملية الغسل باستعمال برنامج Excel وتمت مقارنة تركيز النترات المقاس في الراش مع التركيز المحسوب من معادلة 4 لأجل التأكد من دقة المعادلة.

حسب الجريان الكتلي من المعادلة الآتية:

$$J_m = qC \quad (7)$$

اذ ان J_m الجريان الكتلي ($ML^{-2}T^{-1}$) و C معدل تركيز النترات (ML^{-3}). وبما ان ($v = \theta / \theta_0$) تصبح المعادلة اعلاه كالتالي:

$$J_m = v * \theta * C \quad (8)$$

كما استعملت المعادلة الآتية لحساب معامل التوزيع (distribution coefficient, K_d)

$$R = 1 + \rho_b K_d / \theta \quad (9)$$

اذ ان ρ_b الكثافة الظاهرية لعمود التربة (ميکاغرام m^{-3})

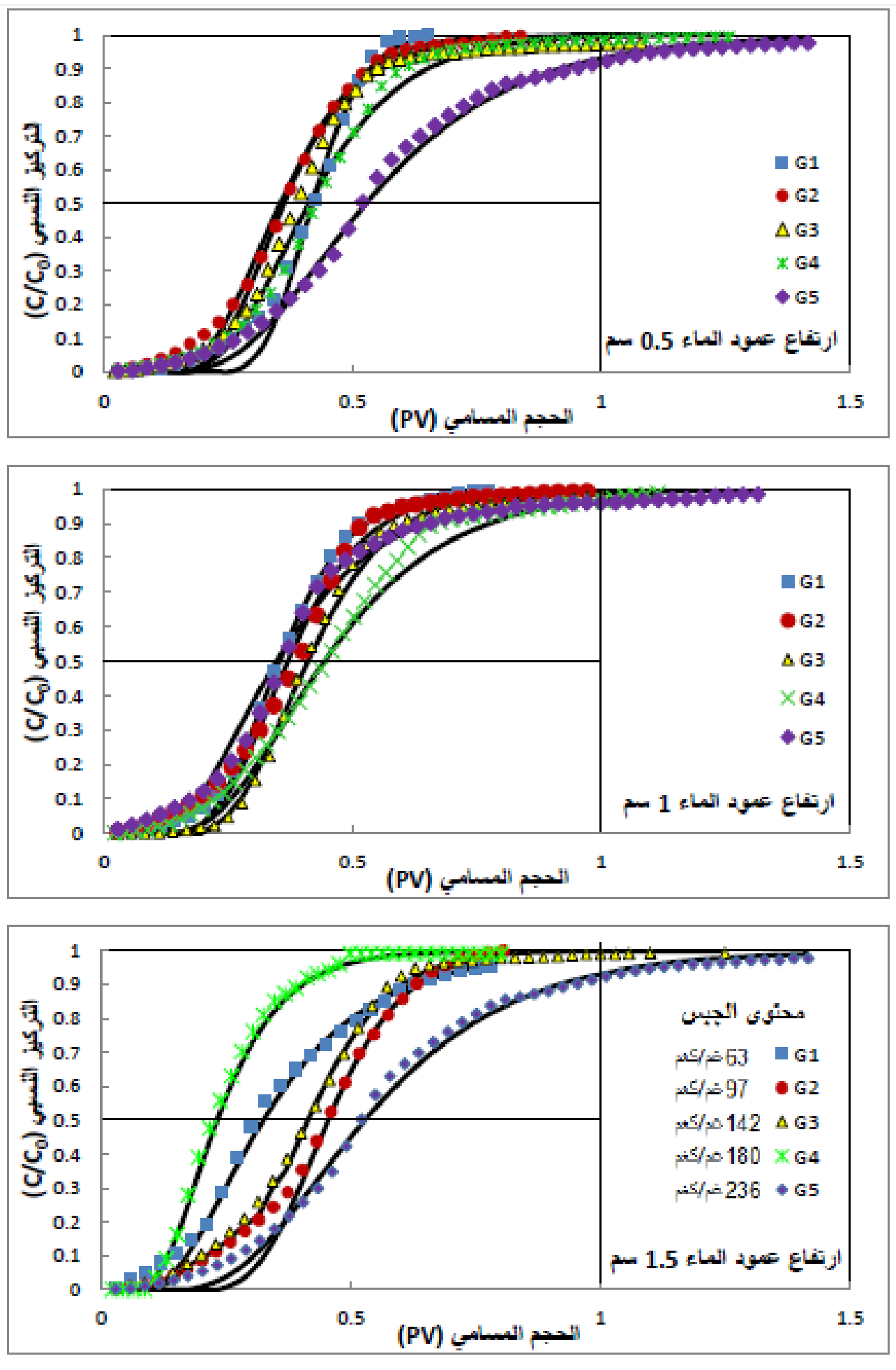
3. النتائج والمناقشة

1.3 منحنيات الاختراق

يوضح شكل 1 منحنيات اختراق النترات كدالة للحجم المسامي (Pore volume) لمعاملات ارتفاع عمود الماء الثلاث اذ يلاحظ وجود تطابق عالي بين القيم المقاسة والقيم المقدرة من معادلة 4 (التشتت - الحمل، CDE). لقد اخضع الانموذج المبين في المعادلة 4 لاختبار جودة المطابقة (goodness of fit) وفقاً لبعض المعايير الاحصائية كمعامل الارتباط r والجذر التربيعي لمتوسط الخطأ RMSE. اعطى الانموذج المستخدم أفضل تطابق للبيانات المقاسة لمنحنيات الاختراق كدالة لحجم الراش (شكل 1) مع البيانات المقاسة اذ تراوحت قيم r بين 0.96 - 0.99 في حين كانت قيم الجذر التربيعي لمتوسط الخطأ تتراوح بين 0.0259 -

جدول (2). تأثير محتوى الجبس في التربة (G) وارتفاع عمود الماء (سم) في الحجم المسامي (pore volume) اللازم لإزاحة 50% من النترات ($C/C_0 = 0.5$)

المتوسط	ارتفاع عمود الماء (سم)			المعاملة
	1.5	1.0	0.5	
0.39	0.38	0.38	0.40	G1
0.40	0.42	0.39	0.38	G2
0.42	0.44	0.41	0.41	G3
0.41	0.40	0.43	0.40	G4
0.47	0.42	0.46	0.52	G5
	0.41	0.41	0.42	المتوسط



2.3 الانتقال الكتلي

النترات مع الماء كان سريعاً إذ يكون انتقالها مساو لانتقال الماء أو أسرع منه بسبب شحنتها السالبة مما يؤدي إلى حصول الاستبعاد الانيوني للنترات وبذلك تزداد حركتها مع محلول التربة (Gonzalez and Shukla, 2011). كما يلاحظ من الجدول أن قيمة الانتقال الكتلي كانت متقاربة باختلاف عمود الماء عند المحتوى الجبسي نفسه، وقد يعزى سبب ذلك إلى أن حركة الماء كانت بطيئة بسبب الإضافات المتقطعة للماء أو مرحلة التوقف عن الغسل(يومان) مما أعطى الفرصة لحصول حركة للجبس ربما عن طريق الانتشار وحصول غلق ميكانيكي لعدٍ من المسامات.

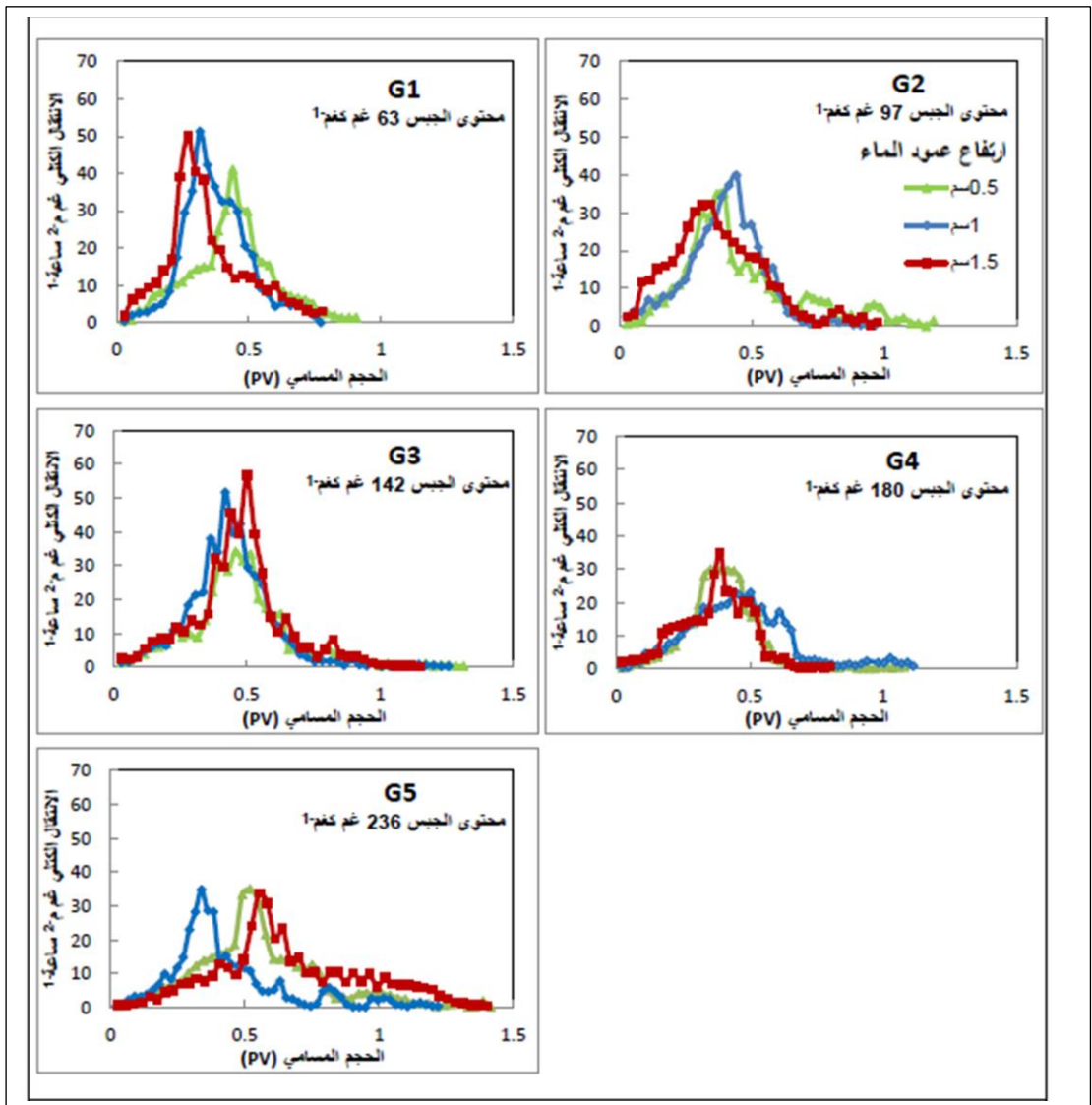
يبين جدول 3 قيمة الانتقال الكتلي. إذ كانت أعلى قيمة في المعاملة G1 عند ارتفاع عمود الماء 0.5 سم $16.77 \text{ غم}^{-2} \text{ ساعة}^{-1}$ وأقل قيمة في المعاملة G5 لارتفاع عمود الماء 1 سم التي بلغت $8.12 \text{ غم}^{-2} \text{ ساعة}^{-1}$. يتبيّن مما في أعلىه أن الانتقال الكتلي هو السائد ويقل بزيادة محتوى التربة من الجبس. ويمكن ان يعزى ذلك إلى انخفاض سرعة تدفق الماء نتيجة لذوبان جزء من دقائق الجبس الناعمة مما يؤدي إلى غلق ميكانيكي لعدٍ من المسامات ومن ثم إعاقة حركة الماء وبالتالي انخفاض قيمة الانتقال الكتلي (Shihab, 1997 و Mahdi, 2018). أن قيمة الانتقال الكتلي العالية تبيّن أن انتقال

جدول (3). تأثير محتوى الجبس في التربة (G) وارتفاع عمود الماء (سم) في قيمة الانتقال الكتلي ($\text{غم}^{-2} \text{ ساعة}^{-1}$)

المعاملة	ارتفاع عمود الماء (سم)	المتوسط
G1	14.27	1.5
G2	10.8	14.02
G3	9.39	12.87
G4	9.99	12.87
G5	8.12	10.29
المتوسط	10.51	11.90

ساكناً، فإن حركة المذاب تحدث بواسطة الانتشار (diffusion) فقط، أمّا إذا كان الماء متحركاً فإنَ الانتقال بالكتلة (mass transfer) أو الحمل (convection) سوف يكون له دور مضاد في الحركة والنقل بالانتشار، ولذلك كلما زادت حركة ماء الغسل في أعمدة التربة كلما زادت كمية المذاب في وحدة حجم ماء ووحدة زمن (Trudgill, 1986)، وهذا يبيّن أنَ سلوك التربة الجبصية ربما يكون مشابهاً للترب الرملية التي تسود آلية الجريان الكتلي فيها في كافة مراحل حركة المذاب في حين تسود آلية الجريان الكتلي في المراحل الأولى من حركة المذاب في التربة الناعمة النسجة وهذا ما توصل إليه (Al-Tawfeeq et al., 2004) و Hassani (2007).

يبين شكل 2 قيمة الانتقال الكتلي باختلاف قيمة الراسح ممثلة بحجم المسام. إذ يبيّن أنَ قيمة الانتقال الكتلي انخفضت في جميع المعاملات عند تقدم عملية الغسل لجميع مستويات الجبس، مما أدى إلى انخفاض تركيز النترات في محلول التربة بسبب حركة النترات السريعة داخل مقد التربة وخروجها في الراسح (Gold et al., 2004). مما يبيّن أنَ آلية الانتقال الكتلي كانت هي السائدة لجميع مراحل حركة النترات لحين خروج كل النترات من عمود التربة (شكل 2) ويعزى ذلك إلى حركة النترات العالية مع ماء الغسل، أنَ التأثير الهيدروديناميكي لماء الغسل كوسط ساكن أو متحرك يؤثّر في طريقة وسرعة نقل الكتلة، فإذا كان الماء



شكل (2). الجريان الكتلي للنترات وعلاقته بحجم المسام ومحتوى الجبس

هذه المكونات بشكل غير منتظم مما يزيد من معامل التشتت وعامل الإعاقة للنترات المنتقلة مع الماء، كما ان للجبس دور في حصول جريان غير منتظم مشابه للجريان التقضيلي مما تسبب في زيادة التشتت (Mahdi, 1997 و Shihab, 2018 و 2018).

ترتبط قيم D بدرجة رئيسية مع سرعة الجريان المسامي (Mahdi, 2018)، إلا أن ذلك لم يكن واضحاً في هذه الدراسة إذ كانت العلاقة سالبة غير معنوية بين D و v (شكل 3). إن زيادة سرعة الجريان تؤدي إلى حدوث حمل وتشتت المواد المذابة مع الماء في التربة. ومن جهة أخرى فإن قيم D تشمل التشتت والانتشار، وأن زيادة هذه القيم تشير إلى زيادة مساهمة آلية التشتت وانخفاض آلية الانتشار. تبين النتائج أعلاه أن لمحتوى الجبس الأثر الأكبر في عدم وضوح قيم D مع v. لم يأخذ D اتجاهها ثابتاً، إذ سبب الجبس عدم انتظام حركة الماء نتيجة لذوبانه وانتقاله إلى موقع آخر في العمود وتغير قيمة v نتيجة لذلك.

كما إن انخفاض قيم R إلى أقل من واحد سببه ظاهرة استبعاد الأيونات السالبة (anion exclusion)، إذ إن الأيونات

3.3 مدلولات الانتقال

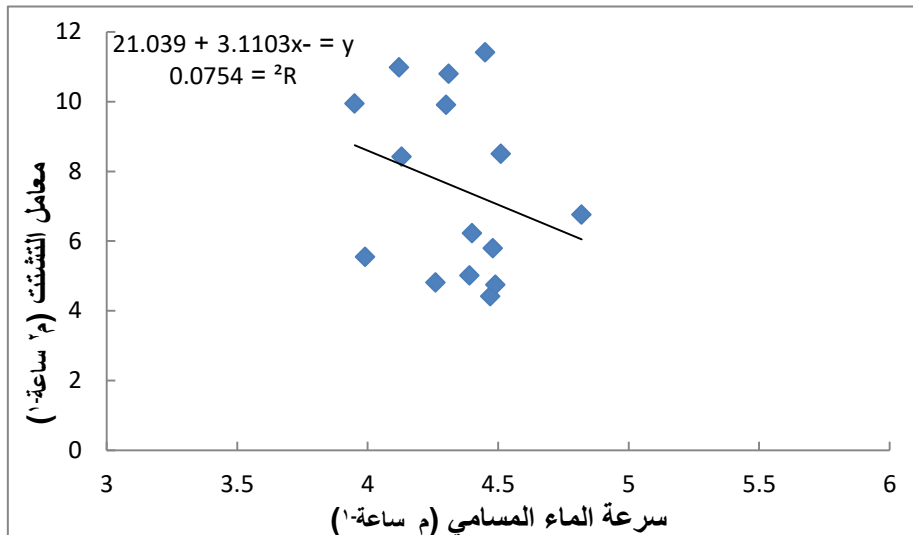
تبين نتائج جدول 4 قيم معامل التشتت D ورقم بكلت P وعامل الإعاقة R، فقد كانت أعلى قيمة لمعامل التشتت D في المعاملة G1 عند ارتفاع عمود الماء 1.5 سم، إذ بلغت $11.41 \text{ m}^2 \text{ ساعة}^{-1}$ ، وأقل قيمة كانت في المعاملة G1 أيضاً عند ارتفاع عمود الماء 0.5 سم وبلغت $4.41 \text{ m}^2 \text{ ساعة}^{-1}$ ، كما تبين نتائج الجدول أيضاً وجود علاقة طردية بين معامل التشتت وعامل الإعاقة إذ تزداد قيم كل منهما بزيادة محتوى الجبس في عمود التربة وتنخفض بانخفاض محتوى الجبس في العمود إذ أن أعلى قيمة لعامل الإعاقة كانت في المعاملة G5 عند ارتفاع عمود الماء 1.5 سم وبلغت 0.69 في حين كانت أقل قيمة في المعاملة G2 عند ارتفاع عمود الماء 0.5 سم وبلغت 0.35 (جدول 4). وبما ان حركة النترات في التربة تكون مصاحبة لحركة الماء أو أسرع منه فقد يعزى ذلك إلى انه بناء الترب الجبسية غير الثابت مما خلف حركة غير متجانسة للماء بسبب ذوبان الجبس فضلاً عن أن زيادة ذوبان الجبس بزيادة محتواه يؤدي إلى خلط مكونات التربة وحركة

وكان أعلى قيمة للمعاملة G1 عند ارتفاع عمود الماء 0.5 سم وبلغت 33.3 أمّا أقل قيمة فكانت في المعاملة G5 عند ارتفاع عمود الماء 1 سم اذ بلغت 8.7. كما بينت النتائج ان هناك علاقة عكسية بين رقم بكلت P ومعامل التشتت D اي كلما زاد P انخفض D في جميع مستويات الجبس وعند اي ارتفاع عمود ماء وهذه النتائج اتفقت مع نتائج (Mahdi, 2018). تشير قيم P إلى النسبة بين الانتشار والتشتت، ففي الأعمدة التي يزداد فيها التشتت تقل فيها قيم P وهذا ما حصل في هذه الدراسة اذ ازدادت قيم P وانخفضت قيم D. تشير هذه النتائج الى أهمية رقم بكلت كمؤشر يعكس التحسّن للتغيرات التي تحصل في التربة خلال عملية انتقال المذاب، فإذا علمنا أنَّ قيمة P تمثل النسبة بين النقل بالحمل إلى النقل بالتشتت خلال حركة المذاب، فإنَّ النظر ثانية إلى قيم P تقع ضمن المنطقة الثالثة ($20 < P < 5$) حسب التصنيف الوارد في (Kutilek and Nieslen, 1994). ويؤكد هذا أنَّ آلية التشتت كانت سائدة. وأنَّ تباين قيم P (ارتفاعاً وانخفاضاً) مع استمرار عملية الجريان يعكس تبادل آليات التشتت والانتشار خلال المراحل المختلفة لعملية الجريان.

الموجبة تجذب إلى شحنات الطين السالبة بواسطة قوى كهربائية ساكنة، في حين تستبعد الأيونات السالبة الشحنة بنفس القوى، مما يؤدي إلى انخفاض تركيز الأخيرة بالقرب من سطوح المعادن وزيادتها في المحلول، وسمى هذا بالامتراز السالب (negative adsorption) أو الاستبعاد الانيوني. أدى ذلك إلى انخفاض قيم R وهذا بدوره انعكس في قيم D، إذ إنَّ هذا الاستبعاد أدى إلى انخفاض تشتت النترات لأنَّ الأيون السالب هذا يستبعد من الحركة في المسامات الصغيرة وأغشية الماء الضيقية التي تربط المسامات الكبيرة (Trudgill, 1986). وهذا يتبيّن بشكل جلي من قيم معامل التوزيع (K_d) التي كانت سالبة لكل المعاملات (جدول 5) ففي حالة عدم وجود تداخل بين المذاب والتربة فأنَّ K_d يصبح 0 وأنَّ قيمة R تساوي 1، وفي عدد من الحالات يمكن أن يكون R أقل من واحد وان K_d سالب، والذي يدل على أنَّ جزءاً من الطور السائل يشارك في عملية الانتقال، وهذا يمكن أن يحصل عندما يتعرض المذاب إلى عملية استبعاد انيوني أو وجود مناطق غير متحركة نسبياً. كما أظهرت نتائج جدول 4 رقم بكلت P لمعاملات الدراسة إذ أظهرت النتائج انخفاض رقم بكلت عموماً بزيادة محتوى التربة من الجبس لجميع ارتفاعات عمود الماء،

جدول (4). تأثير محتوى الجبس في التربة (G) وارتفاع عمود الماء (سم) في قيم معامل التشتت D ($\text{m}^2 \text{ ساعة}^{-1}$) ورقم بكلت P وعامل الإعاقبة R

المعاملة	ارتفاع عمود الماء (سم)			المعاملة
	معامل التشتت (D)	رقم بكلت P	عامل الإعاقبة (R)	
المتوسط				المتوسط
G1	4.41	22.7	0.37	0.5
G2	4.8	12.0	0.41	1.0
G3	5.79	13.7	0.43	5.01
G4	8.41	10.0	0.49	6.22
G5	10.79	8.7	0.59	9.94
		18.9	0.50	11.41
			0.48	7.88
			0.39	6.75
			0.40	5.54
			0.44	4.74
			0.46	10.98
			0.52	14.0
			0.53	24.0
			0.63	19.0
			0.69	19.0
			0.50	18.7
			0.44	19.8
			0.46	17.6
			0.52	23.3
			0.69	13.9
			0.50	12.5
			0.44	



شكل (3). علاقة معامل التشتت D للنترات مع سرعة الماء المسامي v

جدول (5). تأثير محتوى الجبس في التربة (G) وارتفاع عمود الماء (sm) في قيمة معامل التوزيع (K_d).

المعاملة	ال المتوسط	ارتفاع عمود الماء (sm)	المتوسط
G1	- 0.0017	1.5	- 0.0017
G2	- 0.0015	1.0	- 0.0015
G3	- 0.0013	0.5	- 0.0015
G4	- 0.0011	- 0.0012	- 0.0012
G5	- 0.0008	- 0.0009	- 0.0008
المتوسط	- 0.0012	- 0.0013	- 0.0013

تركيز المذاب في الراشح (flux- averaged concentration)، أظهر توافقاً جيداً عند مقارنة تركيز النترات المقاس في الراشح مع التركيز المتبقى في التربة للمدد الزمنية المذكورة أعلاه. إذ تراوحت قيم الخطأ النسبي كمتوسط للقيم بين 5.30 إلى 7.75 % وبين 8.72 إلى 10.84 % للمدتتين 1 و 2 ساعة على التتابع. تشير النتائج إلى إمكانية التنبؤ بتوزيع النترات في مقد تربة جبسية تحت ظروف حدود صحيحة مع تحديد قيم D خلال مراحل متعددة ومتقاربة للاحظة دور الجبس بشكل أكبر في عملية التنبؤ.

4.3 التنبؤ بتركيز النترات مع العمق

أظهر التنبؤ بالتغيير في تركيز النترات مع العمق نوعين من التوزيع. ففي النوع الأول كان الانخفاض في التركيز بطيناً خلال مدة زمنية 1 ساعة، أمّا في النوع الثاني فوجد انخفاض سريع في تركيز النترات مع العمق خلال فترة زمنية مدتها 2 ساعة (شكل 4).

إنَّ استعمال المعادلة 5 لقياس معدل تركيز المذاب في عمود التربة (volume-averaged concentration) من خلال معدل



شكل (4). تركيز النترات في عمود التربة المقدر من معادلة 5 لتراب ذات محتوى جبسي مختلف.

- المرتفع الى مرور حجم مسامي اعلى و زمن اطول لخروج كل النترات في الراسخ مقارنة بالتراب ذات المحتوى الجبسي الاقل، وهذا يقلل من احتمالية انتقال النترات الى المياه الجوفية بزيادة محتوى الجبس.
- 3- ان حل انموذج الحمل - التشتت قد أعطى نطاقة جيداً لوصف منحنيات اختراق النترات وبالتالي امكانية التنبؤ بانتقال وتوزيع النترات في الترب الجبصية باعتماد ظروف حدود صحيحة.

4. الاستنتاجات

- ان الجريان الكتلي هو السائد في انتقال النترات في الجريان غير المشبع باختلاف محتوى الجبس اذا زادت قيم معامل النشتت بزيادة محتوى الجبس وانخفضت قيمة عامل الاعاقة.
- ان انتقال النترات في الترب ذات المحتوى الجبسي المرتفع كانت ابطئ مقارنة بالتراب ذات المحتوى الجبسي الاقل اذا احتاجت الترب ذات المحتوى الجبسي

References

- Al-Hassani, A.A. 2007. Transport and kinetics of chloride during desalinization of two salt affected soils different in texture. Ph.D. Dissertation, Soil Sci. and Water Resources, College of Agriculture, University of Baghdad .
- Allred, B. J. 2007. Effects of nitrate concentration and ionic strength on nitrate anion exclusion under unsaturated flow conditions. *Soil Sci.* 172.11:842-860.
- Allred, B. J. 2008. Cation effects on nitrate mobility in an unsaturated soil. *Soil Sci. ASABE.*51(6):1997-2012.
- Allred, B. J. 2015. Laboratory Investigation of Boundary Condition Impacts on Nitrate Anion Exclusion in an Unsaturated Soil. *Soil Sci. Soc. Am. J.* 79: 742-756.
- Allred, B. J. and Brown, G. 2007. Nitrate mobility under unsaturated flow conditions in four initially dry soils. *Soil Sci.* 172.1:27-41.
- Bahia, M.H.S., and K.M.Naser. 2017. Determination of transport parameters for solutes in salt-treated soil columns. *Iraqi J. Agric. Sci.* 48(1):202-215.
- Gold, A.J., Oviatt, C.A., Benjamin, N. and Giller, K.E. 2004. Nitrate, Agriculture and The Environment. The Chemistry and Physics of Nitrate. Library of Congress Cataloging-in-Publication Data: 14-19.
- Gonzalez-Delgado, A. M. and Shukla, M, K. 2011. Coupled transport of nitrate and chloride in soil columns. *Soil Sci.* 176. 7: 346-355.
- Kovacova, V. 2017. Nitrate dispersion-diffusion coefficients in agricultural soil profile of Zitny ostrov locality (Slovakia). *Columella.* 4.1:143-148.
- Kutilek, M and Nieslen, D.R. 1994. *Soil Hydrology: Textbook for students of soil science, agriculture, forestry, geoecology, hydrology, geomorphology and other related disciplines.* Catena Verlag.
- Mahdi, A. S. 2018. Transport of gypsum in gypsiferous-calcareous soil under saturated and unsaturated water conditions. M.Sc. Thesis, Soil Science and Water Resources, College of Agriculture, Tikrit University.
- Shihab, R.M., 1997. Influence of application of fuel oil and Bentonite on some physical properties and transport of water and solute in gypsiferous soil. Ph.D. Dissertation, Soil Sci. and Water Resources, College of Agriculture, University of Baghdad .
- Shihab, R.M., and Abdulwahhab, Q. R. 2013. Estimation of some hydraulic characteristics of gypsiferous soils using Pedotransfer functions. *Iraqi J. Agric. Sci.* 44(4):518-527.
- Skaggs, T.H., and F.J. Leij. 2002. Solute transport: Theoretical background. In J. Dane and C. Topp (eds.) *Methods of Soil Analysis. Part 4.* SSSA, Madison, WI. p. 1353–1380.
- Soil Survey Staff. 1999. *Soil Taxonomy A Basic Method for Making and Interpreting Soil Surveys.* 2^{ed} USDA. NRCS Agric. Handbook 436-U.S. Gov. Print. Office, Washington.
- Tawfeeq, H.A. 1996. Effect of some physical properties on chloride displacement in soil. . M.Sc. Thesis, Soil Science and Water Resources, College of Agriculture, University of Baghdad
- Trudgill, S.T. 1986. Solute processes and landforms: an assessment. In Trudgill, S.T.(ed.), *Solute Processes*, John Wiley and Sons, Chichester. 497-509.
- Wang, Z., Li, J. and Li, Y. 2014. Simulation of nitrate leaching under varying drip system uniformities and precipitation patterns during the growing season of maize in the North China Plain. *Agric. Water Manag.* .142: 19-28.